

05,11

Топологические особенности электронной структуры и фазовая диаграмма кирального ферромагнетика MnSi

© А.А. Повзнер, А.Г. Волков, М.А. Черникова

Уральский федеральный университет им. Б.Н. Ельцина,
Екатеринбург, Россия

E-mail: a.a.povzner@urfu.ru

Поступила в Редакцию 28 августа 2023 г.

В окончательной редакции 16 октября 2023 г.

Принята к публикации 19 октября 2023 г.

Показано, что причиной возникновения наблюдаемой в геликоидальном ферромагнетике MnSi, сложной картины кирального спинового ближнего порядка является топологический электронный переход (ТЭП). ТЭП возникает в условиях возникновения термодинамической неустойчивости ферромагнетизма, когда параметр мода-мода в функционале Гинзбурга–Ландау становится отрицательным, а химический потенциал попадает в энергетическую область кривизны Берри. Получено, что топологические особенности электронной структуры ведут к возникновению фаз скирмионных решеток и флуктуаций левокиральных спиновых спиралей. В парамагнитной области возникает фаза флуктуаций лево- и правокиральных спиновых спиралей. Возникновение термодинамически устойчивой не киральной парамагнитной фазы сопровождается сдвигом химического потенциала за пределы энергетической области кривизны Берри и скачкообразным исчезновением локальной намагниченности (отложенный магнитный фазовый переход). Построенная фазовая h – T -диаграмма (h — напряженность магнитного поля, T — температура) согласуется с экспериментом.

Ключевые слова: фазы Берри, флуктуации, киральные спиновые спиралы, скирмионы.

DOI: 10.61011/FTT.2023.12.56769.189

1. Введение

Одним из наиболее изученных прототипов спинтронных материалов с кристаллической структурой типа B20, в которой отсутствует центр инверсии, является моносилцид марганца MnSi [1–3]. Ферромагнитное состояние спиновой подсистемы MnSi является киральным поскольку в нем наряду с обменным взаимодействием возникает антисимметричный обмен Дзялошинского–Мория (ДМ). В работе Янсена–Бака [4] было показано, что конкуренция ДМ-взаимодействия с неоднородным обменным взаимодействием приводит к возникновению ферромагнитных длиннопериодических спиновых спиралей с волновым вектором \mathbf{q}_0 , причем переход из геликоидальной ферромагнитной фазы в парамагнитную не является фазовым переходом второго рода. Как было показано в [5], одной из причин срыва перехода второго рода является взаимодействие спиновых флуктуаций с фононными.

С другой стороны, анализ результатов DFT-расчетов электронной структуры показывает [6,7], что в основном состоянии MnSi возникает значительное усиление нулевых спиновых флуктуаций. Температурный рост тепловых флуктуаций приводит к подавлению нулевых флуктуаций [6]. В результате имеет место смена знака параметра мода-мода, что, согласно модели Гинзбурга–Ландау [8], должно вести к термодинамической неустойчивости кирального ферромагнетизма к магнитному фазовому переходу первого рода.

Однако природа возникающего фазового перехода остается не выясненной. В частности, окончательно не выяснены причины того, почему наблюдаемый фазовый переход сопровождается возникновением топологического эффекта Холла (ТНЕ) [9]. Причем в [9,10] отмечалось, что причиной возникновения ТНЕ в MnSi являются топологические особенности электронной структуры, связанные с кривизной Берри на его поверхности Ферми.

Экспериментально установленная h – T -диаграмма магнитных состояний MnSi (см., например, [1]), наряду с областями геликоидальных ферромагнитных спиралей и индуцированного магнитным полем ферромагнетизма, также содержит фазы скирмионных решеток и флуктуаций спиновых спиралей. При этом ее следует дополнить учетом обнаруженной при малоугловом рассеянии поляризованных нейтронов необычной промежуточной фазы с частичной спиновой киральностью [11].

Для выяснения природы возникающих с изменением температуры и магнитного поля фазовых переходов, в частности приводящих к формированию фазы с частичной спиновой киральностью, требуется развитие спин-флуктуационного подхода к изучению кирального зонного ферромагнетизма с учетом топологических особенностей электронной структуры. В настоящей работе такой подход развивается на основе интерполяционной спин-флуктуационной теории зонного магнетизма [12]. С учетом представлений об электронной структуре MnSi, вытекающих из *ab initio* GGA-моделирования, выясняется топологическая природа фаз кирального спино-

вого ближнего порядка на h - T -диаграмме исследуемого кирального ферромагнетика.

2. Модель

Рассмотрим гамильтониан Хаббарда (H) для сильно коррелированных электронов кирального ферромагнетика, в котором топологические особенности электронного спектра учтем в слагаемом гамильтониана ответственным за зонное движение (H_0). При этом, наряду со слагаемым внутриатомного кулоновского отталкивания (δH_U) с параметром хаббардовского взаимодействия (U), будем рассматривать антисимметричное спин-спиновое DM-взаимодействие (δH_D). Тогда

$$H = H_0 + \delta H_U + \delta H_D, \quad (1)$$

где

$$H_0 = \sum_{\mathbf{k}, \sigma} \varepsilon_{\mathbf{k}} a_{\mathbf{k}, \sigma}^+ a_{\mathbf{k}, \sigma},$$

причем топологические особенности спектра d-электронов $\varepsilon_{\mathbf{k}}$ учитываются в DFT-приближении;

$$\delta H_U = U \sum_{\mathbf{q}} \left(4^{-1} |\delta n_{\mathbf{q}}|^2 - |S_{\mathbf{q}}^{(z)}|^2 \right)$$

— гамильтониан хаббардовского взаимодействия, записанный через операторы спиновой и зарядовой плотности;

$$\delta H_D = \sum_{\mathbf{q}} \mathbf{h}_{\mathbf{q}}^{(D)} \mathbf{S}_{-\mathbf{q}}$$

— гамильтониан DM-взаимодействия, представленный в приближении среднего поля $\mathbf{h}_{\mathbf{q}}^{(D)} = -id[\mathbf{M}_{\mathbf{q}} \times \mathbf{q}]$ (поле Дзялошинского), в котором d — константа DM-взаимодействия, $\mathbf{M}_{\mathbf{q}} = \langle \mathbf{S}_{\mathbf{q}} \rangle$ — вектор Фурье-образа неоднородной намагниченности спиновой конфигурации с волновым вектором \mathbf{q} ;

$$S_{\mathbf{q}}^{(z)} = \sum_{\sigma} \sigma n_{\mathbf{q}, \sigma} / 2, \quad \delta n_{\mathbf{q}} = \sum_{\sigma} n_{\mathbf{q}, \sigma} - \delta_{\mathbf{q}, 0} n,$$

$$n_{\mathbf{q}, \sigma} = \sum_{\mathbf{k}} a_{\mathbf{k}, \sigma}^+ a_{\mathbf{k}+\mathbf{q}, \sigma}, \quad a_{\mathbf{k}, \sigma}^+ (a_{\mathbf{k}, \sigma})$$

— операторы рождения (уничтожения) d-электрона в состоянии с квазиимпульсом \mathbf{k} и спиновым квантовым числом σ , n — число d-электронов приходящееся на узел Mn.

Статистическую сумму рассматриваемой динамической системы сильно коррелированных d-электронов запишем в мацубаровском представлении [13]:

$$Z = \text{Sp} T_{\tau} \exp \left(- \int_0^{\beta} H(\tau) d\tau \right),$$

где $\beta = 1/T$, T — температура в энергетических единицах, T_{τ} — оператор упорядочения по мацубаровскому времени τ , $H(\tau) = e^{H_0 \tau} H e^{-H_0 \tau}$.

Для термодинамического потенциала воспользуемся известным термодинамическим соотношением $\Omega = T \ln Z$. При этом, применяя преобразования Стратоновича–Хаббарда [12], сведем исходную многочастичную задачу о движении и взаимодействии d-электронов, к описанию их движения во флуктуирующих в пространстве и времени обменных ($\xi_{\nu}(\tau)$) и зарядовых ($\eta_{\nu}(\tau)$) полях. В результате, дополнительно учитывая поля Дзялошинского, имеем

$$\Omega = \Omega_0 + \Delta \Omega. \quad (2)$$

Здесь Ω_0 — термодинамический потенциал невзаимодействующих электронов, описываемых гамильтонианом H_0 ;

$$\langle (\dots) \rangle = \text{Sp} \left\{ (\dots) \exp \left(\beta \Omega_0 - \int_0^{\beta} \left(H_0(\tau) - \mu \sum_{\mathbf{q}} |n_{\mathbf{q}}|^2 \right) \right) \right\};$$

$$\Delta \Omega = T \ln \left\langle T_{\tau} \int (d\eta d\xi) \exp \left[- \sum_{\mathbf{q}} (|\xi_{\mathbf{q}} - \mathbf{h}_{\mathbf{q}}^{(D)} / c|^2 + |\tilde{\eta}_{\mathbf{q}}|^2) - (U/T)^{1/2} \sum_{\mathbf{q}} (\delta n_{\mathbf{q}} (i\tilde{\eta}_{\mathbf{q}}/2) - \mathbf{S}_{\mathbf{q}} \xi_{-\mathbf{q}}) \right] \right\rangle_0, \quad (3)$$

$c = (UT)^{1/2}$; $\mathbf{q} = (\mathbf{q}, \omega_{2n})$, ω_{2n} — мацубаровская Бозе-частота; $\tilde{\eta}_{\mathbf{q}} = \eta_{\mathbf{q}}(1 - \delta_{\mathbf{q}, 0})$;

$$(d\eta d\xi) = d\xi_0 \left[\prod_{\mathbf{q} \neq 0, j} d\xi_{\mathbf{q}}^{(j)} d\eta_{\mathbf{q}}^{(j)} \right],$$

$d\eta_{\mathbf{q}}^{(j)}$ и $d\xi_{\mathbf{q}}^{(j)}$ — реальная ($j = 1$), мнимая ($j = 2$) части Фурье-образов зарядового ($\eta_{\nu}(\tau)$) и вектора обменного ($\xi_{\nu}(\tau)$) полей, соответственно; $\mathbf{h}_{\mathbf{q}} = (\mathbf{h}_{\delta_{\mathbf{q}, 0}} + \mathbf{h}_{\mathbf{q}}^{(D)}) \delta_{\mathbf{q}, \mathbf{q}}$, \mathbf{h} — однородное внешнее магнитное поле в единицах два магнетона Бора (μ_B).

Далее следуя интерполяционной теории [12], будем разбивать $\Delta \Omega$ на однородную и неоднородную часть (которая соответствует градиентным слагаемым в функционале Гинзбурга–Ландау [8]). В результате получим выражение

$$\Omega = -T \ln \int_{-\infty}^{\infty} (d\xi, d\eta) \exp \left(- \sum_{\mathbf{q}} \left((1 - X_{\mathbf{q}}) |\eta_{\mathbf{q}}|^2 + (1 + X_{\mathbf{q}}) |\xi_{\mathbf{q}} - c^{-1} \mathbf{h}_{\mathbf{q}}|^2 - \Phi(\xi, \eta) \right) \right), \quad (4)$$

в котором $\Phi(\xi, \eta)$ — функционал свободной энергии d-электронов, движущихся во флуктуирующих в пространстве и времени стохастических зарядовых и обменных полях

$$\Phi(\xi, \eta) = \int_0^{\beta} d\tau \sum_{\nu, \alpha (= \pm 1)} \int g_0(\varepsilon) \times \ln \left(1 + \exp T^{-1} (\mu - \varepsilon + \alpha c |\xi_{\nu}(\tau)| + i c \tilde{\eta}_{\nu}) \right) d\varepsilon; \quad (5)$$

а поправка $X_q = U(\chi_0^{(0)} - \chi_q^{(0)})$, учитывающая неоднородность изотропного обменного взаимодействия, определяется через паулиевскую восприимчивость d-электронов и описывается функцией Линдхарда [9]:

$$\chi_q^{(0)} = \chi_0^{(0)} \left(1 - Aq^2 - iB \frac{\omega}{|q|} \right),$$

где однородная статическая компонента $\chi_0^{(0)}$ соответствует плотности d-состояний $g_0(\varepsilon)$ при $\varepsilon = \mu$ (химический потенциал).

3. Уравнение магнитного состояния

Для оценки функциональных интегралов в выражении термодинамического потенциала (4) будем использовать процедуру метода перевала по реальной и мнимой частям зарядовых (с $q \neq 0$) и статических (с $q = \mathbf{q}$) обменных полей η_q и $\xi_q^{(\gamma)}$; а также по модулю динамических (с $\omega_{2n} \neq 0$) обменных полей: $|\xi_q^{(\gamma)}| = r_q^{(\gamma)}$, где γ — индекс пространственных координатных осей.

При этом, имея ввиду связь перевальных значений обменных полей $\xi_q^{(\gamma)}$ со средними от операторов спиновой плотности, совпадающими с намагниченностью (\mathbf{M}_q), а также связь $r_q^{(\gamma)}$ со среднеквадратическими амплитудами спиновых флуктуаций [9], получаем уравнения магнитного состояния в виде

$$M_0^{(z)} (D^{-1} + 2\kappa \sum_{\mathbf{q}} |\mathbf{M}_{\mathbf{q}}|^2) + 2\kappa \sum_{\mathbf{q}^{(1)}, \mathbf{q}^{(2)}, \mathbf{q}^{(3)}} M_{\mathbf{q}^{(1)}}^{(z)} (\mathbf{M}_{\mathbf{q}^{(2)}} \mathbf{M}_{\mathbf{q}^{(3)}}) \delta_{\sum_1 \mathbf{q}^{(i)}=0} = h/U, \quad (6a)$$

$$M_{\mathbf{q}}^{(\gamma)} \left(D^{-1} + 2\kappa M_0^{(z)} + \kappa \sum_{\mathbf{q}^{(1)} \neq 0} |\mathbf{M}_{\mathbf{q}^{(1)}}|^2 + Aq^2 \right) + \kappa \sum_{\mathbf{q}^{(1)}, \mathbf{q}^{(2)}, \mathbf{q}^{(3)} \neq 0} (\mathbf{M}_{\mathbf{q}^{(1)}} \mathbf{M}_{\mathbf{q}^{(2)}}) M_{\mathbf{q}^{(3)}}^{(\gamma)} (1 - \delta_{\mathbf{q}^{(3)}, \mathbf{q}}) \delta_{\sum_{j=1}^3 \mathbf{q}^{(j)}; \mathbf{q}} = h_{\mathbf{q}, \gamma}^{(D)} / (U), \quad (6b)$$

учитывающем обменное усиление зонного магнетизма (с фактором D) и взаимодействия спиновых мод с параметрами мода-мода (κ):

$$D = (1 - U\chi_{\perp} + \kappa(\langle \delta \mathbf{M}^2 \rangle + \langle m^2 \rangle / 3))^{-1}$$

и

$$\kappa = U(\chi_{\perp} - \chi_{\parallel}) / (2M^2).$$

Здесь

$$\chi_{\perp} = (2UM)^{-1} \sum_{\alpha=\pm 1} \alpha \int d\varepsilon f(\varepsilon - \mu - \alpha UM) g_0(\varepsilon)$$

и

$$\chi_{\parallel} = 2 \left(\sum_{\alpha=\pm 1} g_{\alpha}(\mu) \right)^{-1} \prod_{\alpha=\pm 1} g_{\alpha}(\mu),$$

где

$$g_0(\varepsilon) = g_0(\varepsilon + \alpha UM),$$

$$g_{\alpha}^{(n)}(\mu) = (-1)^{n+1} \int_{-\infty}^{\infty} g_{\alpha}(\varepsilon) (d^{n+1} f(\varepsilon - \mu) / d^{n+1} \varepsilon) d\varepsilon,$$

соответствуют поперечной и продольной восприимчивости электронов, $M = (M_0^2 + \langle \delta M^2 \rangle + \langle m^2 \rangle)^{1/2}$ — среднеквадратический магнитный момент, амплитуда динамических спиновых флуктуаций определяется выражением, совпадающим с флуктуационно-диссипативной теоремой

$$\langle m^2 \rangle = 2U^{-1} \sum_{\mathbf{q}, \gamma} \int_0^{\infty} \left(\frac{1}{2} + f_B(\omega/T) \right) \times \text{Im} (D^{-1} + 2\kappa(M) |\mathbf{M}_{\mathbf{q}, \gamma}|^2 + X_{\mathbf{q}, \omega})^{-1} d\omega, \quad (7a)$$

и возникает вклад флуктуаций волн спиновой плотности (ВСП), со средним квадратом амплитуды

$$\langle \delta M^2 \rangle = \sum_{\mathbf{q}} |\mathbf{M}_{\mathbf{q}}|^2. \quad (7b)$$

Решения для динамических тепловых и нулевых спиновых флуктуаций (7a) и для пространственных флуктуаций ВСП (7b) соответствуют перевальным переменным $|\xi_q^{(\gamma)}| = r_q^{(\gamma)}$.

Волновой вектор \mathbf{q}_0 , реализуемых спиновых конфигураций, определяется из условий минимума термодинамического потенциала и оказывается зависящим от проекций на координатные оси намагниченности $M_{\mathbf{q}_0}^{(\gamma)}$:

$$q_0^{(x)} = |\mathbf{q}_0| \left(\frac{(M_{\mathbf{q}_0}^{(+)} M_{-\mathbf{q}_0}^{(-)})^{1/2}}{|\mathbf{M}_{\mathbf{q}_0}|^2} \right) \text{Re} M_{+\mathbf{q}_0}^{(z)};$$

$$q_0^{(y)} = |\mathbf{q}_0| \left(\frac{(M_{\mathbf{q}_0}^{(+)} M_{-\mathbf{q}_0}^{(-)})^{1/2}}{|\mathbf{M}_{\mathbf{q}_0}|^2} \right) \text{Im} M_{\mathbf{q}_0}^{(z)};$$

$$q_0^{(z)} = \pm |\mathbf{q}_0| \left(\frac{M_{\mathbf{q}_0}^{(+)} M_{-\mathbf{q}_0}^{(-)}}{|\mathbf{M}_{\mathbf{q}_0}|^2} \right), \quad (8)$$

где $|\mathbf{q}_0| = d/2AU$, $M_{\mathbf{q}_0}^{(+)} = (M_{-\mathbf{q}_0}^{(-)})^* = M_{\mathbf{q}_0}^{(x)} + iM_{\mathbf{q}_0}^{(y)}$ — циркулярные компоненты вектора $\mathbf{M}_{\mathbf{q}_0}$.

Решение уравнений магнитного состояния может быть выполнено только численно с учетом особенностей электронного спектра и DOS d-электронов. Причем, для анализа возможностей возникновения термодинамических и топологических фаз необходима информация о зависимости химического потенциала μ от температуры и магнитного поля. Последнюю можно получить из условия седловой точки по η_0 и требования электронейтральности для числа s- и d-электронов

$$N_e = N_S + \sum_{\alpha=\pm 1} \int d\varepsilon f(\varepsilon - \mu + \alpha UM) g(\varepsilon), \quad (9)$$

где N_e — общее число электронов, N_S — число s-электронов, $f(\varepsilon)$ — функция Ферми-Дирака.

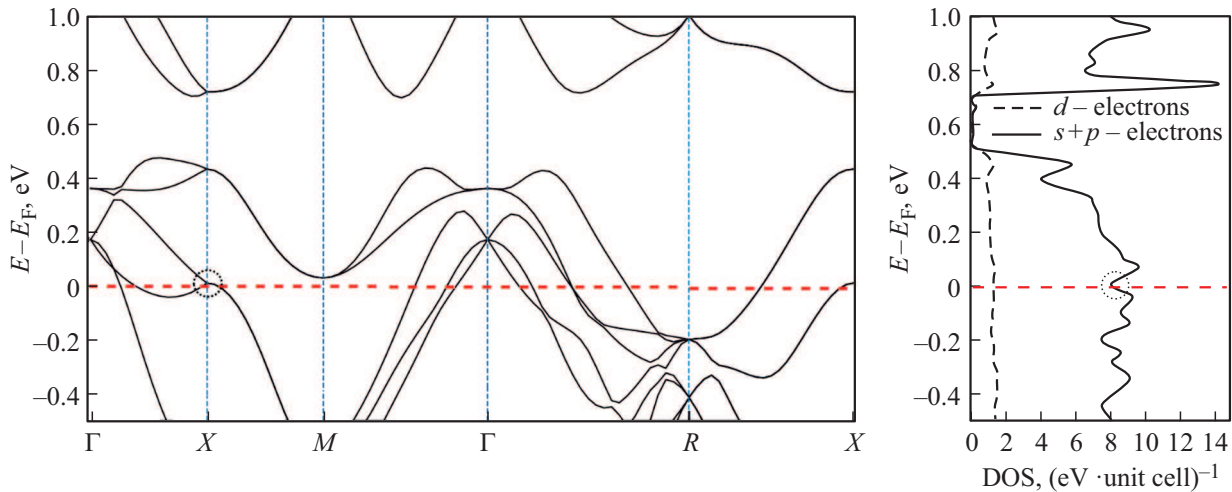


Рис. 1. Электронный спектр (слева) и плотность состояний MnSi (справа). Кривая плотности состояний (DOS) изображенная сплошной линией соответствует d -электронам, а пунктирной линией — sp -электронам. Положение уровня Ферми совпадает с началом отсчета энергии. Энергетическая область кривизны Берри и DOS обведена кружком. Также кружком выделена X -точка пересечения ветвей, в которой возникает кривизна Берри.

4. h – T -диаграмма спиновых состояний

Численный анализ киральных спиновых состояний MnSi выполним используя, при решении уравнений магнитного состояния, результаты первопринципных расчетов электронной структуры. Такие расчёты для электронного спектра и плотности электронных состояний (DOS) в настоящей работе были выполнены с учетом особенностей кристаллической структуры MnSi в приближении GGA (рис. 1). При расчетах был использован код Elk, в котором реализован полно потенциалный метод присоединенных плоских волн. Обменно-корреляционный потенциал был выбран в виде GGA. Волновые функции были отобраны на сетке $16 \times 16 \times 16k$ -точек, а длина отсечки обратного волнового вектора G была установлена на 3.77 а.у.⁻¹.

Полученные нами результаты GGA расчётов DOS неплохо согласуются с приведенными в базах данных по топологическим материалам [14]. Однако они недостаточны для определения температурно-полевой зависимости параметра мода-мода, которая в условиях затянутого по температуре фазового перехода в MnSi определяется только после учета особенностей тонкой структуры DOS. Поэтому было проведено моделирование тонкой структуры DOS d -электронов в интервале энергий $|\varepsilon - \varepsilon_F| \leq 0.1$ eV, которое привело к приближенному выражению

$$g(\varepsilon) = 147.05\varepsilon^6 + 61.9\varepsilon^5 - \varepsilon^4 - 19.9\varepsilon^3 - 6.96\varepsilon^2 + 0.21\varepsilon + 0.03, \text{ eV}^{-1}.$$

Сопоставление результатов моделирования тонкой структуры DOS с расчетами электронных спектров (рис. 1) показывает, что в рассмотренном интервале

энергий, вблизи энергии Ферми, имеет место пересечение ветвей электронного спектра, приводящее к вырождению Берри [10]. При этом кривизна DOS, определяемая его второй производной по энергии в рассматриваемом интервале является отрицательной.

Основные результаты численного анализа решений уравнений магнитного состояния (6) в рассмотренной модели электронной структуры сводятся к следующим.

1. Если химический потенциал, определяемый условием электронейтральности (9), оказывается за пределами кривизны Берри электронного спектра, а значение параметра межмодового взаимодействия положительно ($\kappa > 0$), то получаем решения, соответствующие спиновому геликоиду с левой киральностью

$$M_v^{(x)} = M_S \sin(\mathbf{q}_0 \mathbf{v}), \\ v^{(y)} = -M_S \cos(\mathbf{q}_0 \mathbf{v}), \quad M_v^{(z)} = \chi h. \quad (10)$$

Здесь локальная намагниченность

$$M_S^2 = (2\kappa)^{-1} \left((D^{-1} + 2\kappa M_0^2 + X(\mathbf{q}_0, 0))^2 - (d|\mathbf{q}_0|/U)^2 \right)^{1/2}. \quad (11a)$$

магнитная восприимчивость

$$\chi = 2U^{-1} (1 - (D^{-1} + 2\kappa M_0^2)^{-1}), \quad (11b)$$

а флуктуации волн спиновой плотности (76) не имеют места: $\langle \delta M^2 \rangle = 0$.

При этом, также как при LDA+U+SO-моделировании в [6,7], термодинамически равновесное киральное ферромагнитное состояние реализуется только при наличие нулевых спиновых флуктуаций со среднеквадратичной амплитудой, которая сравнима с модулем намагниченности M_q . Условие существования подобных решений определяется неравенством

$$D^{-1} + 2\kappa M_0^{(z)} < -3d q_0 / 4U.$$

Волновой вектор \mathbf{q}_0 геликоида (8) оказывается фиксированным по модулю (см. (6)) и перпендикулярным плоскости спирали, в которой происходит вращение x - y -проекции локальной намагниченности \mathbf{M}_v . Во внешнем однородном магнитном поле, перпендикулярном x - y -плоскости, возникают спиновые конусы. При этом локальная намагниченность приобретает z -компоненту, а ее x - и y -составляющие убывают с увеличением поля \mathbf{h} .

На рассчитанной нами фазовой диаграмме (рис. 2) эти решения уравнений магнитного состояния (11), описывают фазу 1.

Во внешнем магнитном поле $h > h_C$, где критическое поле h_C определяется условием

$$2\kappa M_0^2(h_C) = -D^{-1} - \frac{3d|\mathbf{q}_0|}{U},$$

происходит „схлопывание“ геликоидального конуса и возникает индуцированный полем ферромагнетизм (фаза 2).

2. Анализ условия электронейтральности и решений уравнения магнитного состояния показывает, что изменение параметра мода-мода при температурно-полевым сдвиге химического потенциала в область с отрицательной кривизной DOS приводит к подавлению нулевых флуктуаций. При этом амплитуда среднеквадратичного момента становится малой. В результате для параметров межмодового взаимодействия и обменного усиления, приближенно имеем

$$\kappa \approx U^3 (g^{-1}(\mu)(g^{(1)}(\mu))^2 - g^{(2)}(\mu))$$

и

$$D_0 \approx (1 - U\chi_0^{(0)})^{-1}. \quad (12)$$

Согласно (12) κ меняет знак при сдвиге химического потенциала в область отрицательной кривизны DOS без изменения знака параметра обменного усиления. Поскольку химический потенциал при этом сдвигается в энергетическую область кривизны Берри, то в системе индуцируется ТЭП.

В результате ТЭП наряду, со слабыми тепловыми спиновыми флуктуациями, возникают топологически обусловленные пространственные флуктуации ВСП (7b) и флуктуации зарядовых полей η со средним квадратом $\langle \delta\eta^2 \rangle = N_0^{-1} \sum_v (\eta_v - \nu_0)^2$:

$$\langle \delta\mathbf{M}^2 \rangle = \langle \delta\eta^2/4 \rangle - [D_0^{-1} + \kappa(\mathbf{M}_0^2 + 5\langle m^2 \rangle/3)]/\kappa, \quad (13a)$$

$$\left\langle \frac{\delta\eta^2}{4} \right\rangle = \langle \delta\mathbf{M}^2 \rangle - \frac{[2 - D_0^{-1} - \kappa(\mathbf{M}_0^2 + \langle m^2 \rangle)]}{\kappa}. \quad (13b)$$

Согласно рассматриваемой модели электронной структуры, если при $\kappa < 0$ и $D < 0$ выполняется условие $D_0^{-1} - 2|\kappa|M_0^2 < -3d|\mathbf{q}_0|/4U$, то для индукции магнитного поля $b < \frac{d|\mathbf{q}_0|M_S}{4}$ решения уравнений (6) описывают скирмионную решетку

$$M_v^{(x)} \cong M_S \cos(q_{0,i}v + \phi), \quad M_v^{(y)} \cong M_S \sin(q_{0,i}v + \Phi),$$

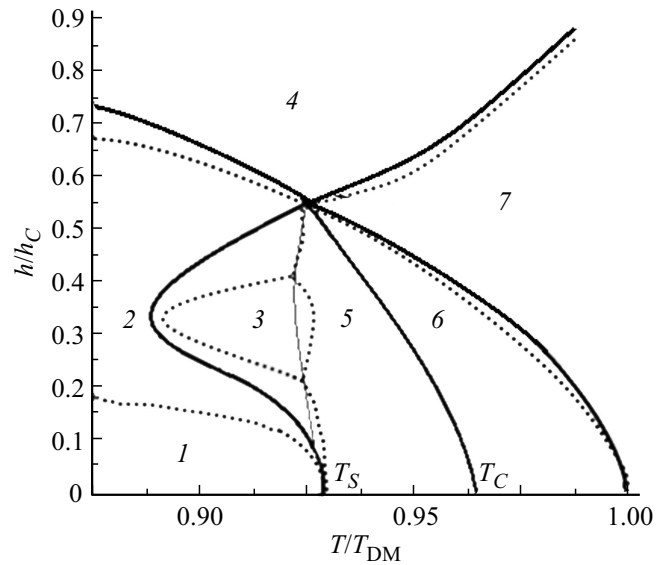


Рис. 2. Фазовая диаграмма MnSi. Сплошные линии — результаты расчета, пунктир — экспериментальные данные [1,15]. 1 — геликоидальный (спиральный) магнетизм, 2 — геликоидальный конус, 3 — скирмионная А-фаза, 4 — индуцированный полем \mathbf{h} ферромагнетизм, 5 — ферромагнитный геликоидальный флуктуационный беспорядок, 6 — парамагнитный геликоидальный беспорядок, 7 — парамагнетизм. Используются расчетные значения магнитного поля „схлопывания“ геликоидального конуса при $T \rightarrow 0$ $\mu_B h_C = 0.60T$. На горизонтальной оси в относительных единицах показаны расчетные значения температуры $T_S = 0.93T_{DM}$ формирования лево киральных ферромагнитных флуктуаций спиновых спиралей и температуры возникновения парамагнитной спиновой жидкости со смешанной (правой и левой) спиновой киральностью — $T_C = 0.96T_{DM}$. $T_{DM} = 31.08$ К — расчетное значение температуры исчезновения спиновой киральности и возникновения парамагнетизма при $h = 0$. При расчетах используются параметры $U = 0.93$ eV, $A = 0.07$ и $B = \pi/2.45$ из [16,17].

$$M_v^{(z)} = |M_{q_0}^{(z)}| \cos(\mathbf{q}_{0,i}v + \phi) + M_0^{(z)}, \quad (14a)$$

$$M_S^2 = (2|\kappa|)^{-1} \left((D_0^{-1} - 2|\kappa|M_0^2 - |\kappa|(\langle \delta\mathbf{M}^2 \rangle - \langle \delta\eta^2/4 \rangle) + X(\mathbf{q}_0, 0))^2 - (d|\mathbf{q}_0|/U)^2 \right)^{1/2}, \quad (14b)$$

Особенностью скирмионных решений является возникновение намагниченности в направлении перпендикулярном плоскости спиралей. Однако согласно проведенным оценкам

$$|\mathbf{M}_{q_0}^{(z)}|^2 = (4U)^{-2} (|\kappa|d|\mathbf{q}_0|)^2 \langle \delta\mathbf{M}^2 \rangle - (h/U)^2 \ll M_S^2, \quad (15b)$$

в силу чего рассматриваемые спиновые конфигурации являются квазипланарными.

Согласно анализу слагаемых межмодовой связи в уравнении магнитного состояния тройка волновых векторов $q_{0,i}$ в выражениях (14a) в сумме равна нулю. Поэтому угол между соседними волновыми векторами

спиновых мод $M_q^{(y)}$ составляет 120° , что в соответствии с [1,15] отвечает условию возникновения скирмионной решетки, которая является результатом наложения трех геликоидальных мод.

Рассчитанная область существования скирмионной фазы 3 приведена на рис. 2. Фазы 4 и 5 на рассчитанной нами диаграмме (рис. 2) наблюдаются и на эксперименте [1,15]. Однако в отличие от [1,15] мы показываем, что следует различать спиновые жидкости с ферромагнитными и с парамагнитными флуктуациями спиновых спиралей.

Ферромагнитные флуктуации спиновых спиралей возникают при условиях и $0 > D_0^{-1} + 2\kappa M_0^{(z)} > -3dq_0/4U$ и $\kappa < 0$, описываются решениями уравнения магнитного состояния

$$\begin{aligned} M_v^{(x)} &= M_S \cos(\mathbf{q}_0 \mathbf{v} + \phi), \\ M_v^{(y)} &= M_S \sin(\mathbf{q}_0 \mathbf{v} + \phi), \quad M_v^{(z)} = \chi h, \end{aligned} \quad (16)$$

в которых фигурируют стохастически меняющиеся фазы ϕ . Также как и для спиновых спиралей (11), здесь сохраняется левая спиновая киральность.

Если же выполняется условие $0 < D_0^{-1} + 2\kappa M_0^{(z)} < 3d|\mathbf{q}_0|/U$ и $\kappa < 0$, то возникает фаза 5, которая соответствует парамагнитной спиновой жидкости со смешанной (правой и левой) спиновой киральностью. В этой области, получаем следующие решения уравнения магнитного состояния

$$\begin{aligned} M_v^{(x)} &= M_S \cos(\mathbf{q}_0 \mathbf{v} + \phi), \\ M_v^{(y)} &= \pm M_S \sin(\mathbf{q}_0 \mathbf{v} + \phi), \quad M_v^{(z)} = \chi h. \end{aligned} \quad (17)$$

Отметим, что, как и в обычном (не киральном) парамагнитном состоянии, в фазе 5 система электронов не намагничена при $h = 0$. Однако во внешнем магнитном поле возникает намагниченность пропорциональная h . Подобное состояние спиновой системы MnSi наблюдалось в экспериментах по малоугловому рассеянию поляризованных нейтронов в [11], где фиксировали смешанную левую и правую спиновую киральности.

Отметим, что киральные спиральные моды $M_q^{(y)}$ с фиксированными фазами Берри должны сохраняться в пределах радиусов корреляций, описываемых выражениями

$$R_C = 2\pi k_F^{-1} (AU\chi)^{1/2}, \quad (19)$$

где магнитная восприимчивость

$$\chi = 2\chi_0^{(0)} (D_0^{-1} + \kappa(2M_0^2 + \langle \delta M^2 \rangle + 5\langle m^2 \rangle/3))^{-1}.$$

Проведенные оценки с учетом параметров электронной и магнитной подсистем [16,17] показывают, что величина $R_C \approx 50$ ангстрем, причем слабо зависит от внешнего магнитного поля.

Наконец следует отметить, что не киральная парамагнитная фаза 6 (рис. 2) возникает в условиях, когда вследствие изменения температуры и магнитного поля, химический потенциал сдвигается за пределы области

Берри-кривизны. При этом, имеет место отложенный магнитный фазовый переход в парамагнитное состояние, сопровождаемый изменением отрицательного знака параметра мода-мода на положительный, исчезновением пространственных флуктуаций электронной плотности (13) и локальных намагниченностей. Вследствие исчезновения локальных намагниченностей киральные эффекты ДМ-взаимодействия также исчезают.

5. Заключение

Таким образом, мы показываем, что топологические особенности электронной структуры приводят к возникновению на h - T -диаграмме MnSi фаз топологического магнетизма. Причиной возникновения скирмионной фазы, а также фаз с ферро- и парамагнитными киральными спиновыми жидкостями является топологический электронный переход. При этом ТЭП вызван индуцированным температурой и внешним магнитным полем сдвигом химического потенциала электронной системы в область кривизны Берри.

ТЭП сопровождается возникновением пространственных флуктуаций волн спиновой и зарядовой плотности, которые являются необходимым условием формирования топологического магнетизма. При этом сопоставление особенностей электронных спектров, приводящих к кривизне Берри с особенностями DOS, приводит к выводу о взаимосвязи знака параметра мода-мода с рассмотренными топологическими особенностями электронной структуры.

Поскольку вырождение электронных состояний, связанное с кривизной Берри, является причиной топологического эффекта Холла (THE) [9], постольку в соответствии с найденной фазовой диаграммой можно ожидать, что даже незначительные изменения электронной структуры будут оказывать существенное влияние на THE. В частности, мы ожидаем, что экспериментальные результаты, описывающие обнаруженный THE [9], будут существенно дополнены после дальнейшего, и прежде всего экспериментального, его изучения на образцах MnSi, допированных различными примесями.

Поэтому исследование топологически обусловленных особенностей тонкой электронной структуры и спиновых корреляций в киральных ферромагнетиках, относящихся к структурному типу B20, является актуальным для дальнейшего развития спинтронных технологий.

Финансирование работы

Результаты получены в рамках задания Министерства науки и высшего образования, контракт № FEUZ-2023-0015.

Конфликт интересов

Авторы заявляют, что у них нет конфликта интересов.

Список литературы

- [1] A. Bauer, C. Pfleiderer. Springer Ser. Mater. Sci. **228**, 1–28 (2016).
- [2] С.М. Стишов, А.Е. Петрова. УФН **187**, 12, 1365 (2017).
- [3] С.М. Стишов, А.Е. Петрова. УФН **193**, 614 (2023).
- [4] P. Bak, M.H. Jensen. J. Phys. C **13**, L1881 (1980).
- [5] S.A. Pikin. JETP Lett. **106**, 793 (2017).
- [6] A.A. Povzner, A.G. Volkov, T.A. Nogovitsyna. Physica B: Condens. Matter **536**, 408 (2018).
<https://doi.org/10.1016/j.physb.2017.10.112>
- [7] А.А. Повзнер, А.Г. Волков, И.А. Ясюлевич. ФТТ **58**, 1283 (2016).
- [8] M. Brando, D. Belitz, F.M. Grosche, T.R. Kirkpatrick. Rev. Mod. Phys. **88**, 25006 (2016).
<https://doi.org/10.1103/RevModPhys.88.025006>
- [9] A. Neubauer, C. Pfleiderer, B. Binz, A. Rosch, R. Ritz, P.G. Niklowitz, P. Böni. Phys. Rev. Lett. **102**, 186602 (2009).
- [10] M.A. Wilde, M. Doderhöft, A. Niedermayr, A. Bauer, M.M. Hirschmann, K. Alpin, A.P. Schnyder, C. Pfleiderer. Nature **594**, 374 (2021).
- [11] C. Pappas, E. Lelièvre-Berna, P. Falus, P.M. Bentley, E. Moskvina, S. Grigoriev, P. Fouquet, B. Farago. Phys. Rev. Lett. **102**, 197202 (2009).
- [12] Т. Мория. Спиновые флуктуации в магнетиках с коллективизированными электронами. Мир, М. (1988). 288 с.
- [13] А.А. Абрикосов, Л.П. Горьков, И.Е. Дзялошинский. Методы квантовой теории поля в статистической физике. Физматгиз, М. (1962). 444 с.
- [14] M.G. Vergniory, L. Elcoro, C. Felser, N. Regnault, B.A. Bernevig, Z. Wang. Nature **566**, 480 (2019).
<https://doi.org/10.1038/s41586-019-0954-4>
- [15] Y. Luo, S. Lin, D.M. Fobes, Z. Liu, E.D. Bauer, J.B. Betts, A. Migliori, J.D. Thompson, M. Janoshek, B. Maiorov. Phys. Rev. B **97**, 104423 (2018).
- [16] A.A. Povzner, A.G. Volkov, T.M. Nuretdinov. J. Magn. Magn. Mater. **507**, 166826 (2020).
- [17] A.A. Povzner, A.G. Volkov, M.A. Chernikova, T.A. Nogovitsyna. Solid State. Commun. **371**, 115279 (2023).

Редактор Ю.Э. Кутаев